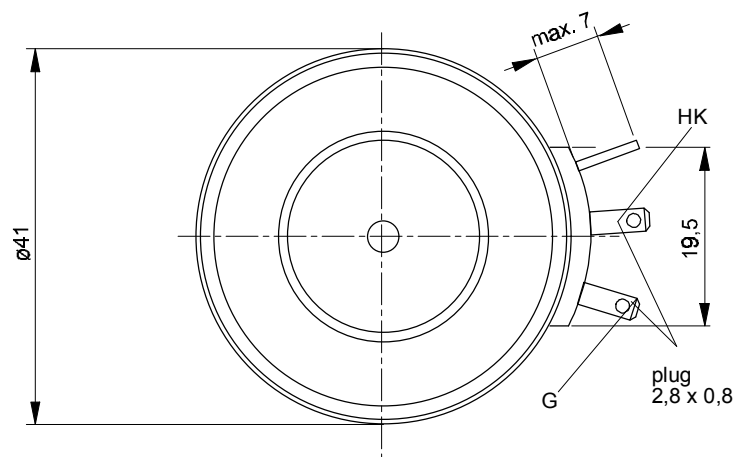
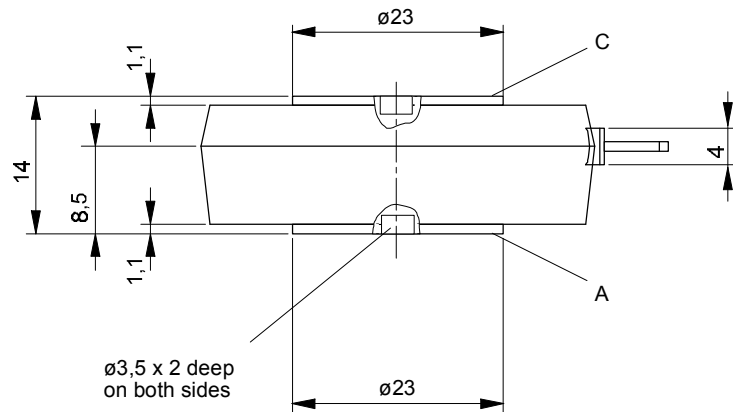




European Power-Semiconductor and Electronics Company

Marketing Information T 298 N



T 298 N

Elektrische Eigenschaften

Höchstzulässige Werte

Periodische Vorwärts- und Rückwärts-Spitzensperrspannung

Electrical properties

Maximum rated values

repetitive peak forward off-state and reverse voltages

Vorwärts-Stoßspitzensperrspannung

non-repetitive peak forward off-state voltage

Rückwärts-Stoßspitzensperrspannung

non-repetitive peak reverse voltage

Durchlaßstrom-Grenzeffektivwert

RMS on-state current

Dauergrenzstrom

average on-state current

Stoßstrom-Grenzwert

surge current

Grenzlastintegral

$I^2 t$ -value

Kritische Stromsteilheit

critical rate of rise of on-state current

Kritische Spannungssteilheit

critical rate of rise of off-state voltage

Charakteristische Werte

Durchlaßspannung

on-state voltage

Schleusenspannung

threshold voltage

Ersatzwiderstand

slope resistance

Zündstrom

gate trigger current

Zündspannung

gate trigger voltage

Nicht zündender Steuerstrom

gate non-trigger current

Nicht zündende Steuerspannung

gate non-trigger voltage

Haltestrom

holding current

Einraststrom

latching current

Vorwärts- und Rückwärts-Sperrstrom

forward off-state and reverse currents

Zündverzug

gate controlled delay time

Freiwerdezeit

circuit commutated turn-off time

Thermische Eigenschaften

Innerer Wärmewiderstand für beidseitige Kühlung

Thermal properties

thermal resistance, junction to case for two-sided cooling

für anodenseitige Kühlung

for anode-sided cooling

für kathodenseitige Kühlung

for cathode-sided cooling

Übergangs-Wärmewiderstand

thermal resistance, case to heatsink

Höchstzul. Sperrschichttemperatur

max. junction temperature

Betriebstemperatur

operating temperature

Lagertemperatur

storage temperature

Mechanische Eigenschaften

Si-Elemente mit Druckkontakt

Si-pellet with pressure contact

Anpreßkraft

clamping force

Gewicht

weight

Kriechstrecke

creepage distance

Feuchteklasse

humidity classification

Schwingfestigkeit

vibration resistance

Maßbild, anliegend

outlines, attached

$t_{vj} = -40^{\circ}\text{C} \dots t_{vj\text{ max}}$	$V_{\text{DRM}}, V_{\text{RRM}}$	600 800 1000 1200 1400 1600*	V
$t_{vj} = -40^{\circ}\text{C} \dots t_{vj\text{ max}}$	$V_{\text{DSM}} = V_{\text{DRM}}$	600 800 1000 1200 1400 1600*	V
$t_{vj} = +25^{\circ}\text{C} \dots t_{vj\text{ max}}$	$V_{\text{RSM}} = V_{\text{RRM}}$	700 900 1100 1300 1500 1700	V
$t_c = 85^{\circ}\text{C}$	I_{TRMSM}	600	A
$t_c = 68^{\circ}\text{C}$	I_{TAVM}	298	A
$t_{vj} = 25^{\circ}\text{C}, t_p = 10\text{ ms}$	I_{TSM}	4900	A
$t_{vj} = t_{vj\text{ max}}, t_p = 10\text{ ms}$		4250	A
$t_{vj} = 25^{\circ}\text{C}, t_p = 10\text{ ms}$	$I^2 t$	120000	A^2s
$t_{vj} = t_{vj\text{ max}}, t_p = 10\text{ ms}$		90600	A^2s
$V_D \leq 67\%, V_{\text{DRM}}, f = 50\text{ Hz}$	$(di_T/dt)_{cr}$	150	$\text{A}/\mu\text{s}$
$V_L = 10\text{ V}, i_{\text{GM}} = 0,6\text{ A}, di_G/dt = 0,6\text{ A}/\mu\text{s}$			
$t_{vj} = t_{vj\text{ max}}, V_D = 67\% V_{\text{DRM}}$	$(dv/dt)_{cr}$	1000	$\text{V}/\mu\text{s}$

Characteristic values

$t_{vj} = t_{vj\text{ max}}, i_T = 1100\text{ A}$	V_T	max. 2	V
$t_{vj} = t_{vj\text{ max}}$	$V_{T(\text{TO})}$	0,85	V
$t_{vj} = t_{vj\text{ max}}$	r_T	0,9	$\text{m}\Omega$
$t_{vj} = 25^{\circ}\text{C}, V_D = 6\text{ V}$	I_{GT}	max. 150	mA
$t_{vj} = 25^{\circ}\text{C}, V_D = 6\text{ V}$	V_{GT}	max. 2	V
$t_{vj} = t_{vj\text{ max}}, V_D = 6\text{ V}$	I_{GD}	max. 10	mA
$t_{vj} = t_{vj\text{ max}}, V_D = 0,5 V_{\text{DRM}}$	V_{GD}	max. 0,25	V
$t_{vj} = 25^{\circ}\text{C}, V_D = 6\text{ V}, R_A = 5\ \Omega$	I_H	max. 200	mA
$t_{vj} = 25^{\circ}\text{C}, V_D = 6\text{ V}, R_{\text{GK}} \geq 10\ \Omega$	I_L	max. 800	mA
$i_{\text{GM}} = 0,6\text{ A}, di_G/dt = 0,6\text{ A}/\mu\text{s}, t_g = 20\ \mu\text{s}$	I_D, I_R	max. 30	mA
$t_{vj} = t_{vj\text{ max}}, V_D = V_{\text{DRM}}, v_R = V_{\text{RRM}}$	t_{gd}	max. 3	μs
$t_{vj} = 25^{\circ}\text{C}, i_{\text{GM}} = 0,6\text{ A}, di_G/dt = 0,6\text{ A}/\mu\text{s}$	t_q	typ. 200	μs
siehe Techn.Erl./see Techn. Inf.			

Thermal properties

thermal resistance, junction to case for two-sided cooling

$\Theta = 180^{\circ}\text{ el, sin}$	R_{thJC}	max. 0,088	$^{\circ}\text{C}/\text{W}$
DC		max. 0,082	$^{\circ}\text{C}/\text{W}$
$\Theta = 180^{\circ}\text{ el, sin}$	$R_{\text{thJC(A)}}$	max. 0,139	$^{\circ}\text{C}/\text{W}$
DC		max. 0,133	$^{\circ}\text{C}/\text{W}$
$\Theta = 180^{\circ}\text{ el, sin}$	$R_{\text{thJC(K)}}$	max. 0,219	$^{\circ}\text{C}/\text{W}$
DC		max. 0,213	$^{\circ}\text{C}/\text{W}$
beidseitig/two-sided		max. 0,015	$^{\circ}\text{C}/\text{W}$
einseitig/one-sided		max. 0,030	$^{\circ}\text{C}/\text{W}$
$t_{vj\text{ max}}$		125	$^{\circ}\text{C}$
$t_{c\text{ op}}$		-40...+125	$^{\circ}\text{C}$
t_{stg}		-40...+140	$^{\circ}\text{C}$

Mechanical properties

Si-pellet with pressure contact

clamping force	F	3...6	kN
weight	G	typ. 70	g
creepage distance		17	mm
humidity classification	DIN 40040		C
vibration resistance	f = 50 Hz	50	m/s^2
outlines, attached	DIN 41814-151A4		

* Für größere Stückzahlen Liefertermin erfragen / Delivery for larger quantities on request

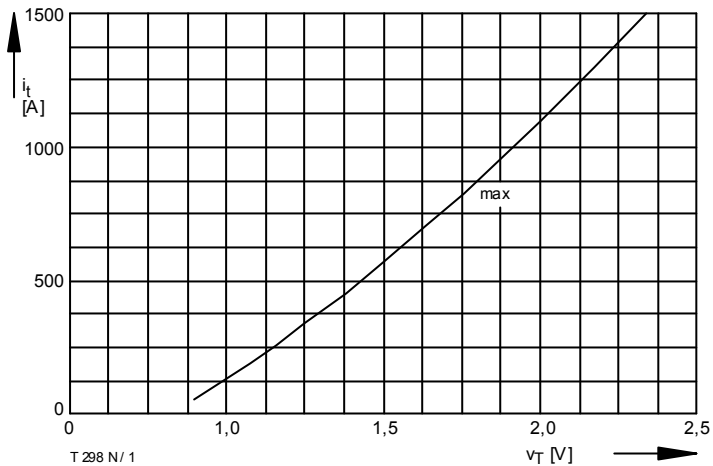


Bild / Fig. 1
Grenzdurchlaßkennlinie / Limiting on-state characteristic
 $i_T = f(v_T)$, $t_{vj} = t_{vj \text{ max}}$

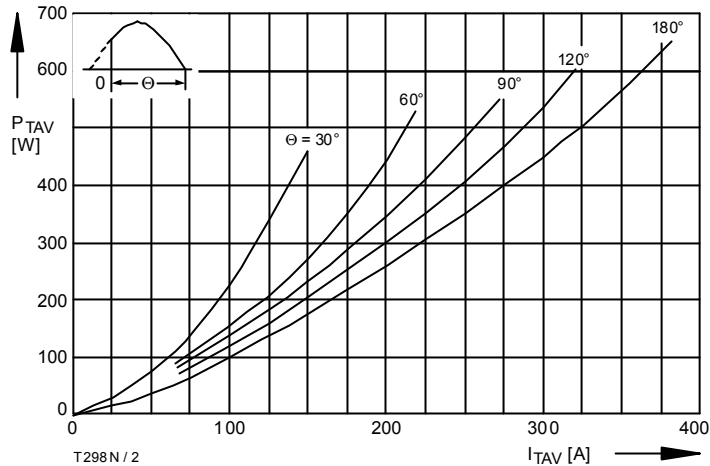


Bild / Fig. 2
Durchlaßverlustleistung / On-state power loss $P_{TAV} = f(I_{TAV})$
Parameter: Stromflußwinkel / Current conduction angle θ

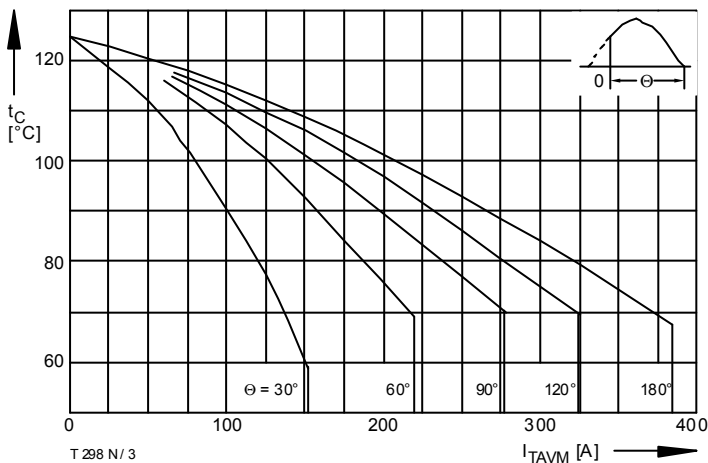


Bild / Fig. 3
Höchstzulässige Gehäusetemperatur / Max. allowable case temperature
 $t_c = f(I_{TAVM})$
Beidseitige Kühlung / Two-sided cooling
Parameter: Stromflußwinkel / Current conduction angle θ

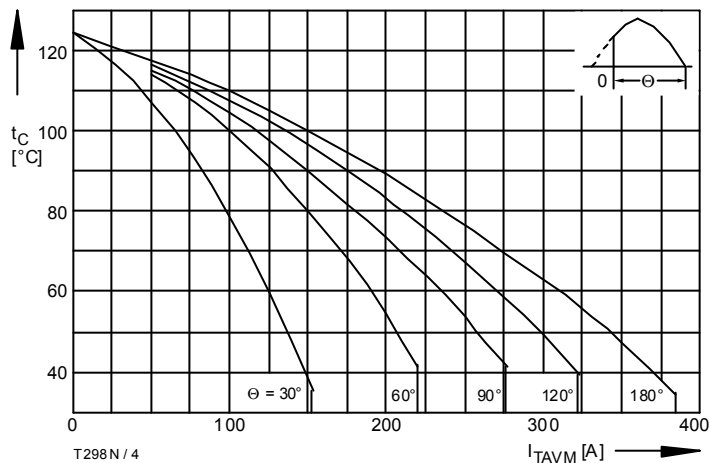


Bild / Fig. 4
Höchstzulässige Gehäusetemperatur / Max. allowable case temperature
 $t_c = f(I_{TAVM})$
Anodenseitige Kühlung / Anode-sided cooling
Parameter: Stromflußwinkel / Current conduction angle θ

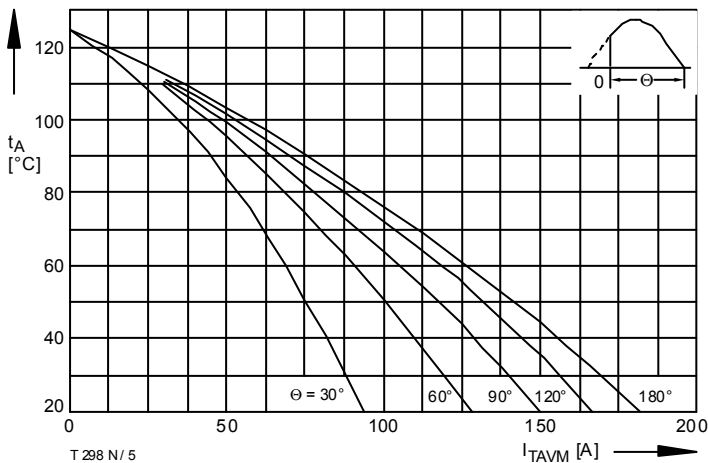


Bild / Fig. 5
Höchstzulässige Kühlmitteltemperatur / Max. allowable cooling medium temperature $t_A = f(I_{TAVM})$
Luftselbstkühlung / Natural air-cooling
Kühlkörper / Heatsink: K0.36S
Parameter: Stromflußwinkel / Current conduction angle θ

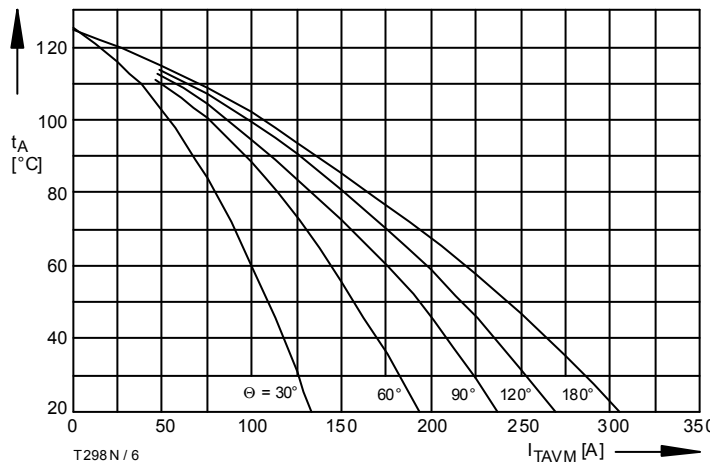


Bild / Fig. 6
Höchstzulässige Kühlmitteltemperatur / Max. allowable cooling medium temperature $t_A = f(I_{TAVM})$
Verstärkte Luftkühlung / Forced air cooling
Kühlkörper / Heatsink: K0.12F, $V_L = 50 \text{ l/s}$
Parameter: Stromflußwinkel / Current conduction angle θ

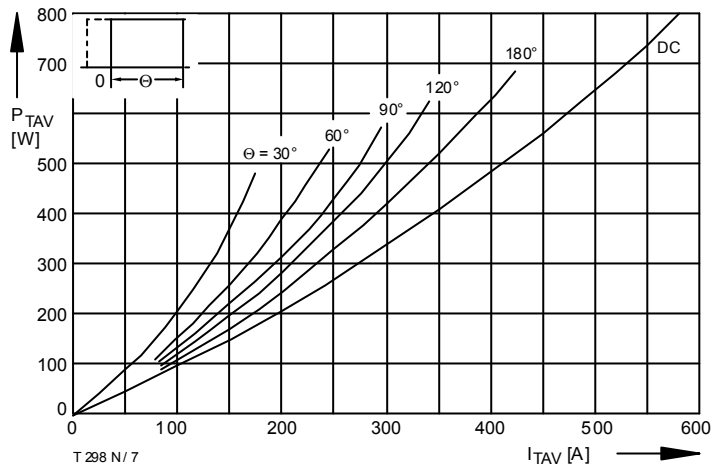


Bild / Fig. 7
 Durchlaßverlustleistung / On-state power loss $P_{TAV} = f(I_{TAV})$
 Parameter: Stromflußwinkel / Current conduction angle θ

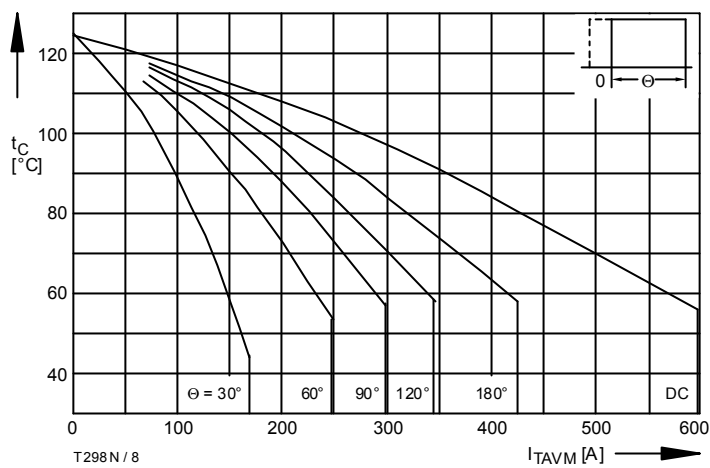


Bild / Fig. 8
 Höchstzulässige Gehäusetemperatur / Max. allowable case temperature
 $t_c = f(I_{TAVM})$
 Beidseitige Kühlung / Two-sided cooling
 Parameter: Stromflußwinkel / Current conduction angle θ

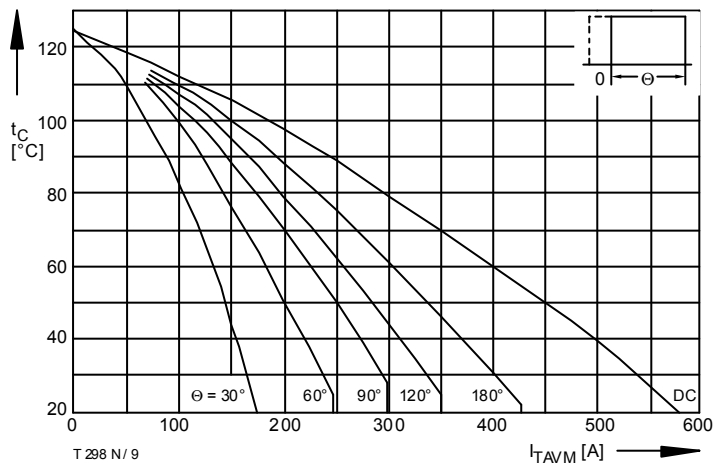


Bild / Fig. 9
 Höchstzulässige Gehäusetemperatur / Max. allowable case temperature
 $t_c = f(I_{TAVM})$
 Anodenseitige Kühlung / Anode-sided cooling
 Parameter: Stromflußwinkel / Current conduction angle θ

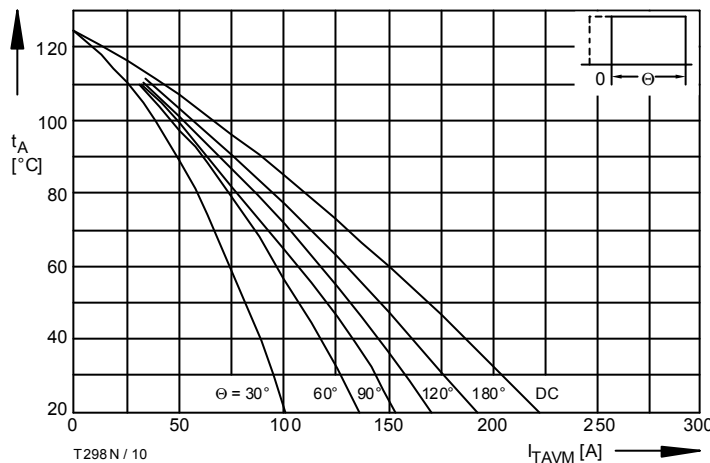


Bild / Fig. 10
 Höchstzulässige Kühlmitteltemperatur / Max. allowable cooling medium temperature $t_A = f(I_{TAVM})$
 Luftselbstkühlung / Natural air-cooling
 Kühlkörper / Heatsink: K0.36S
 Parameter: Stromflußwinkel / Current conduction angle θ

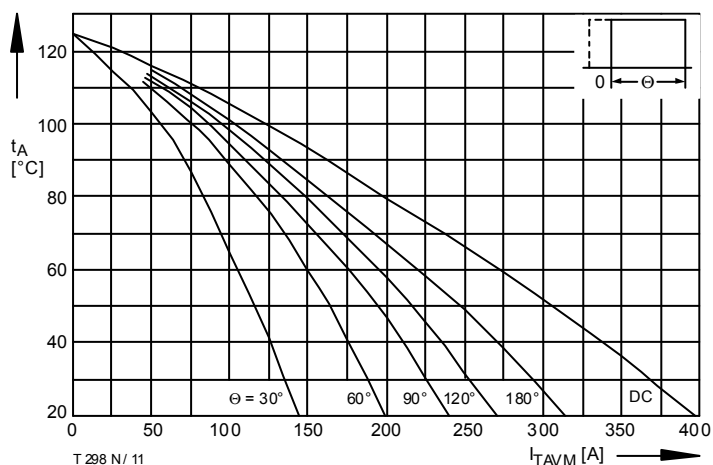


Bild / Fig. 11
 Höchstzulässige Kühlmitteltemperatur / Max. allowable cooling medium temperature $t_A = f(I_{TAVM})$
 Verstärkte Luftkühlung / forced air cooling
 Kühlkörper / Heatsink: K0.12F, $V_L = 50$ l/s
 Parameter: Stromflußwinkel / Current conduction angle θ

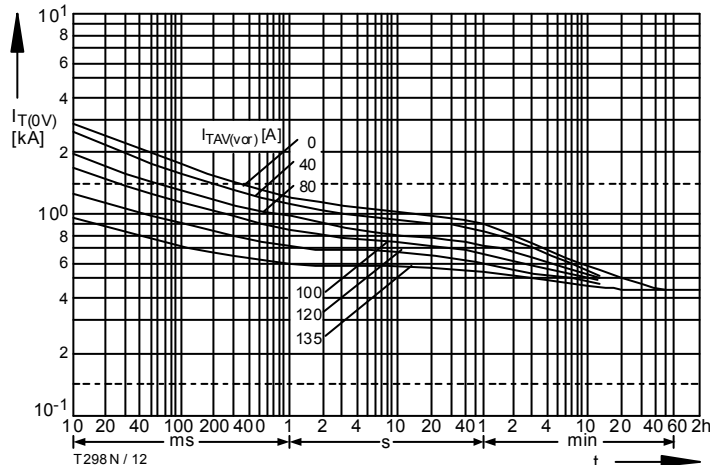


Bild / Fig. 12
 Überstrom / Overload on-state current $I_{T(OV)} = f(t)$
 Luftselbstkühlung / Natural air-cooling $t_A = 45$ °C
 Kühlkörper / Heatsink: K0.36S
 Parameter: Vorlaststrom / Pre-load current $I_{TAV(vor)}$

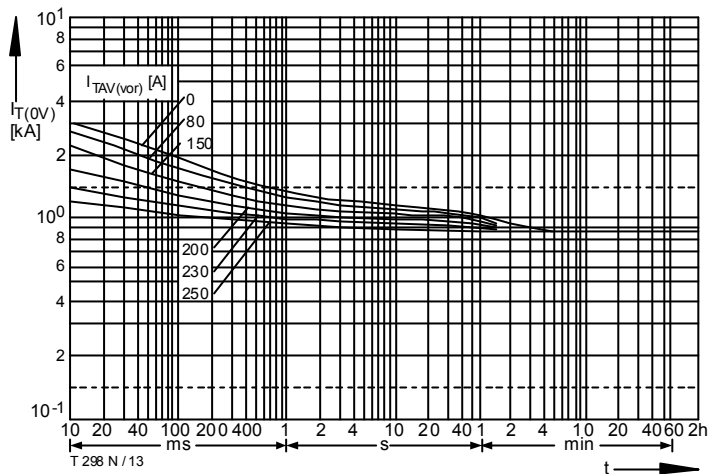


Bild / Fig. 13
 Überstrom / Overload on-state current $I_{T(OV)} = f(t)$
 Verstärkte Luftkühlung / Forced air-cooling, $t_A = 35^\circ\text{C}$
 Kühlkörper / Heatsink: K0.12F, $V_L = 50 \text{ l/s}$
 Parameter: Vorlaststrom / Pre-load current $I_{TAV(vor)}$

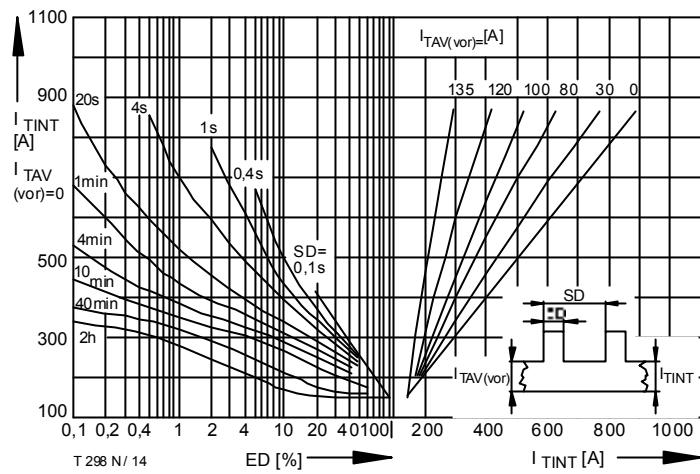


Bild / Fig. 14
 Höchstzulässiger Durchlaßstrom bei Aussetzbetrieb / Max. allowable on-state current at intermittent operation $I_{TINT} = f(ED)$
 Luftselbstkühlung / Natural air-cooling, $t_A = 45^\circ\text{C}$
 Kühlkörper / Heatsink: K0.36S
 Parameter: Spieldauer / Cycle duration SD
 Vorlaststrom / Pre-load current $I_{TAV(vor)}$

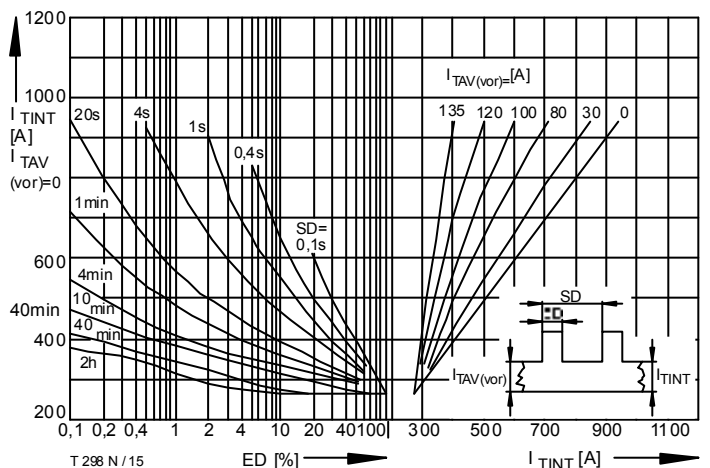


Bild / Fig. 15
 Höchstzulässiger Durchlaßstrom bei Aussetzbetrieb / Max. allowable on-state current at intermittent operation $I_{TINT} = f(ED)$
 Verstärkte Luftkühlung / Forced air-cooling, $t_A = 35^\circ\text{C}$
 Kühlkörper / Heatsink: K0.12F, $V_L = 50 \text{ l/s}$
 Parameter: Spieldauer / Cycle duration SD
 Vorlaststrom / Pre-load current $I_{TAV(vor)}$

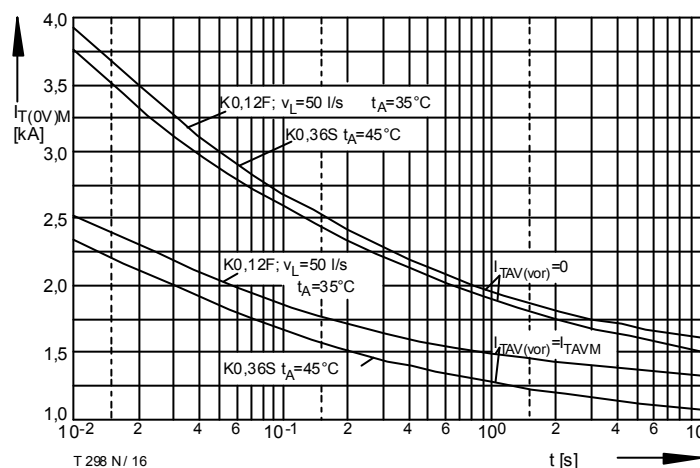


Bild / Fig. 16
 Grenzstrom / Max. overload on-state current $I_{T(OV)M} = f(t)$, $V_{RM} = 0,8 V_{RRM}$
 Beidseitige Kühlung / Two-sided cooling
 Kühlkörper / Heatsink: K0.36S, K0.12F
 Belastung aus / Surge current occurs:
 a - Leerlauf / No-load conditions
 b - Betrieb mit Dauerstrom / During operation at max. average on-state current I_{TAVM}

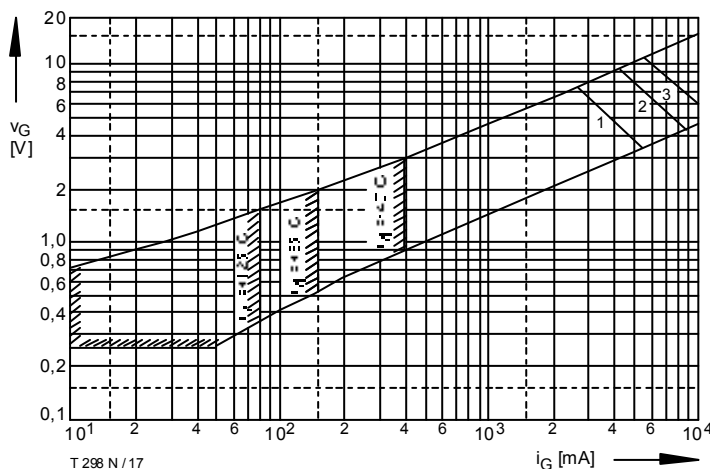


Bild / Fig. 17
 Steuercharakteristik mit Zündbereichen / Gate characteristic with triggering areas $V_G = f(i_G)$, $V_D = 6 \text{ V}$
 Parameter: a b c
 Steuerimpulsdauer / trigger puls duration t_g [ms] 10 1 0,5
 Höchstzulässige Spitzensteuerleistung / Max. rated peak gate power dissipation [W] 20 40 60

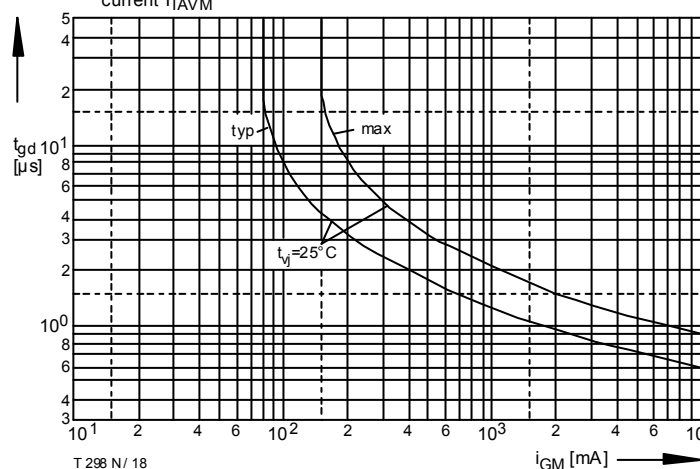


Bild / Fig. 18
 Zündverzug / Gate controlled delay time $t_{gd} = f(i_{GM})$
 $t_{vj} = 25^\circ\text{C}$, $di_G/dt = i_{GM}/1\mu\text{s}$
 a - Maximaler Verlauf / Limiting characteristic
 b - Typischer Verlauf / Typical characteristic

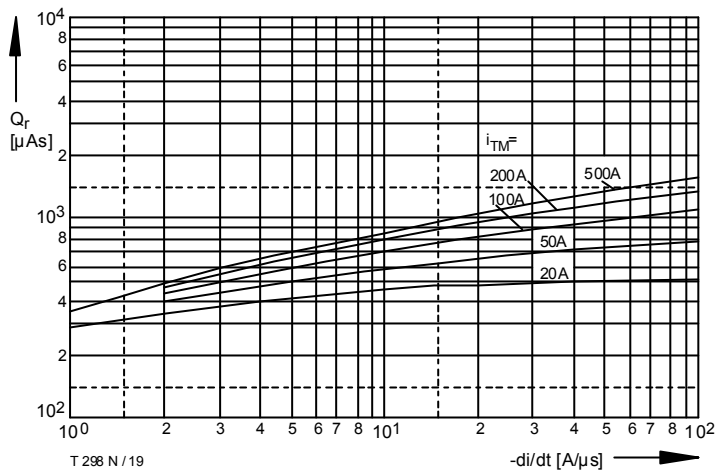


Bild / Fig. 19
 Sperrverzögerungsladung / Recovered charge $Q_r = f(di/dt)$
 $t_{vj} = t_{vj \max}$, $V_R = 0,5 V_{RRM}$, $V_{RM} = 0,8 V_{RRM}$
 Parameter: Durchlaßstrom / On-state current i_{TM}

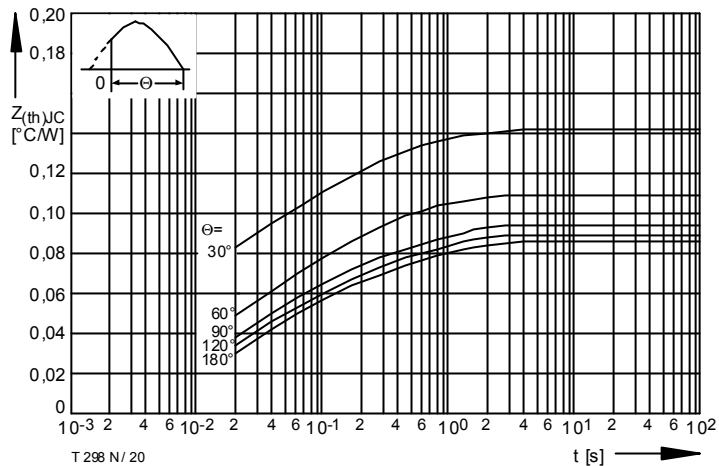


Bild / Fig. 20
 Transienter innerer Wärmewiderstand / Transient thermal impedance
 $Z_{thJC} = f(t)$
 Beidseitige Kühlung / Two-sided cooling
 Parameter: Stromflußwinkel / current conduction angle θ

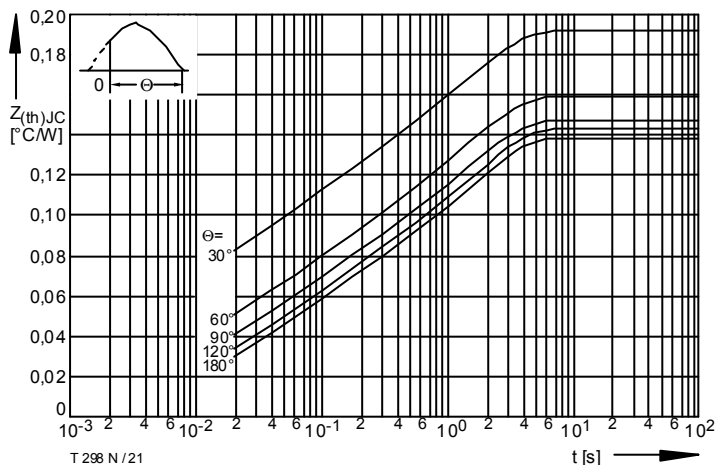


Bild / Fig. 21
 Transienter innerer Wärmewiderstand / Transient thermal impedance
 $Z_{thJC} = f(t)$
 Anodenseitige Kühlung / Anode-sided cooling
 Parameter: Stromflußwinkel / current conduction angle θ

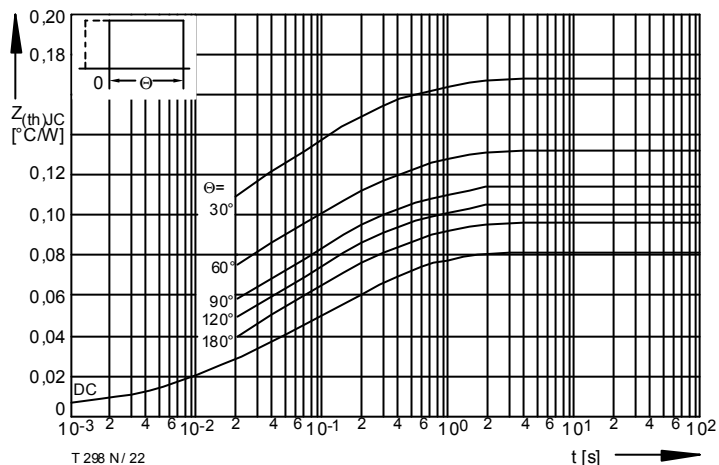


Bild / Fig. 22
 Transienter innerer Wärmewiderstand / Transient thermal impedance
 $Z_{thJC} = f(t)$
 Beidseitige Kühlung / Two-sided cooling
 Parameter: Stromflußwinkel / current conduction angle θ

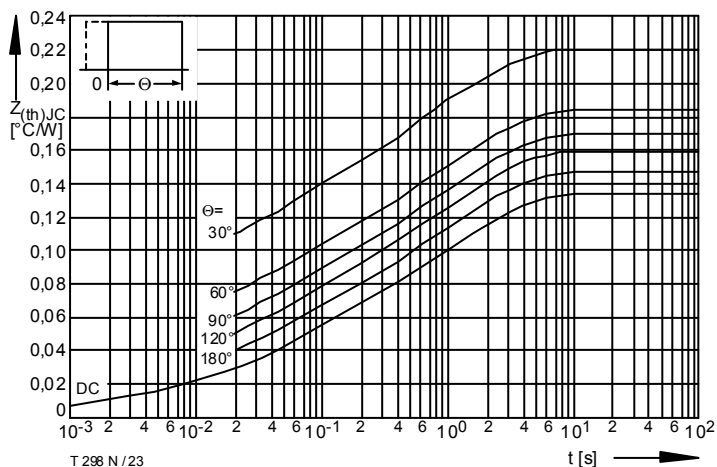


Bild / Fig. 23
 Transienter innerer Wärmewiderstand / Transient thermal impedance
 $Z_{thJC} = f(t)$
 Anodenseitige Kühlung / Anode-sided cooling
 Parameter: Stromflußwinkel / current conduction angle θ

Analytische Elemente des transienten Wärmewiderstandes Z_{thJC} pro Zweig für DC
 Analytical elements of transient thermal impedance Z_{thJC} per arm for DC

Beidseitig / Two-sided

Pos. n	1	2	3	4	5
$R_{thn} [^{\circ}C/W]$	0,0072	0,019	0,034	0,013	0,009
$\tau_n [s]$	0,00073	0,0144	0,099	0,41	1,51

Anodenseitig / Anode-sided

Pos. n	1	2	3	4	5
$R_{thn} [^{\circ}C/W]$	0,0072	0,019	0,034	0,013	0,06
$\tau_n [s]$	0,00073	0,0144	0,099	0,41	1,51

Kathodenseitig / Cathode-sided

Pos. n	1	2	3	4	5
$R_{thn} [^{\circ}C/W]$	0,0072	0,019	0,034	0,013	0,14
$\tau_n [s]$	0,00073	0,0144	0,099	0,41	1,51

Analytische Funktion / Analytical function:

$$Z_{thJC} = \sum_{n=1}^{n_{max}} R_{thn} (1 - e^{-\frac{t}{\tau_n}})$$